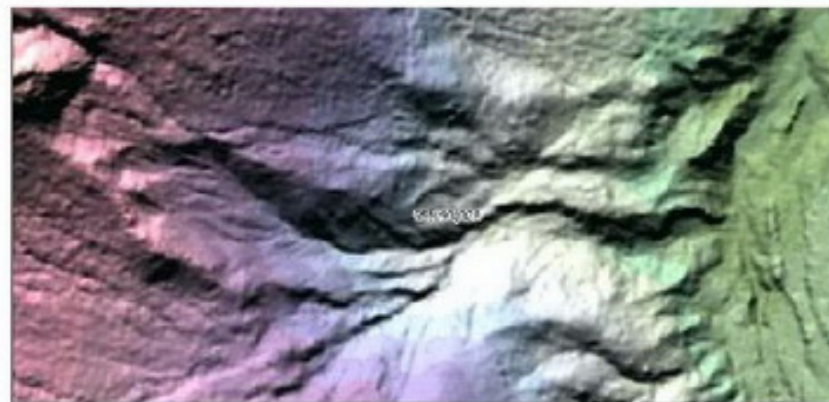
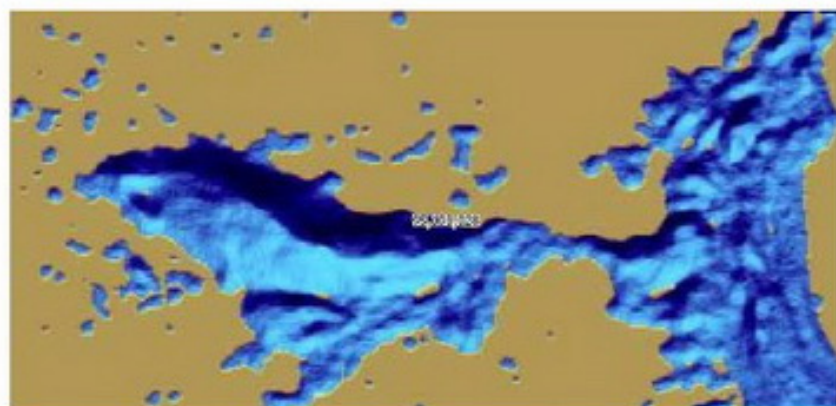


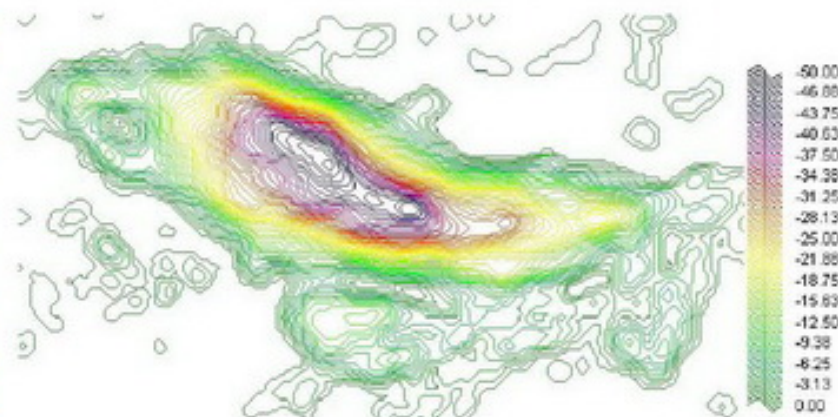
(甲) DSM (數值表面模型)



(乙) DEM (數值高程模型)



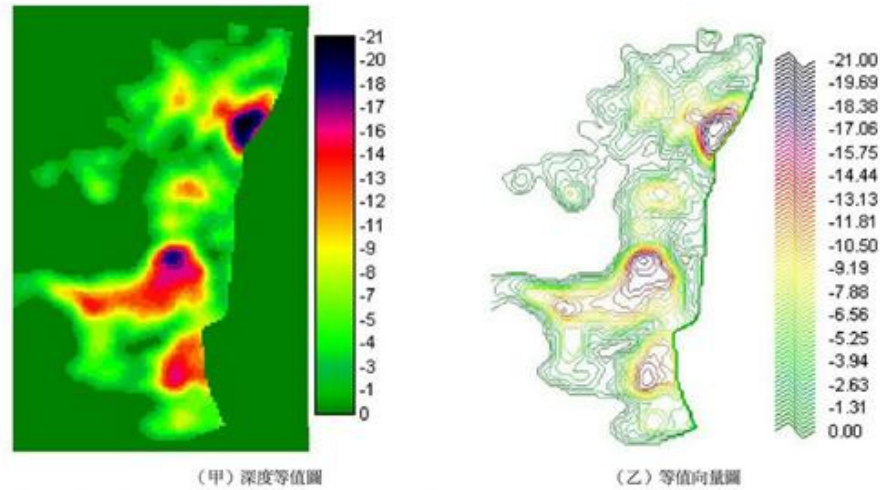
(丙) DEM₂₀₁₀-DEM₂₀₀₅



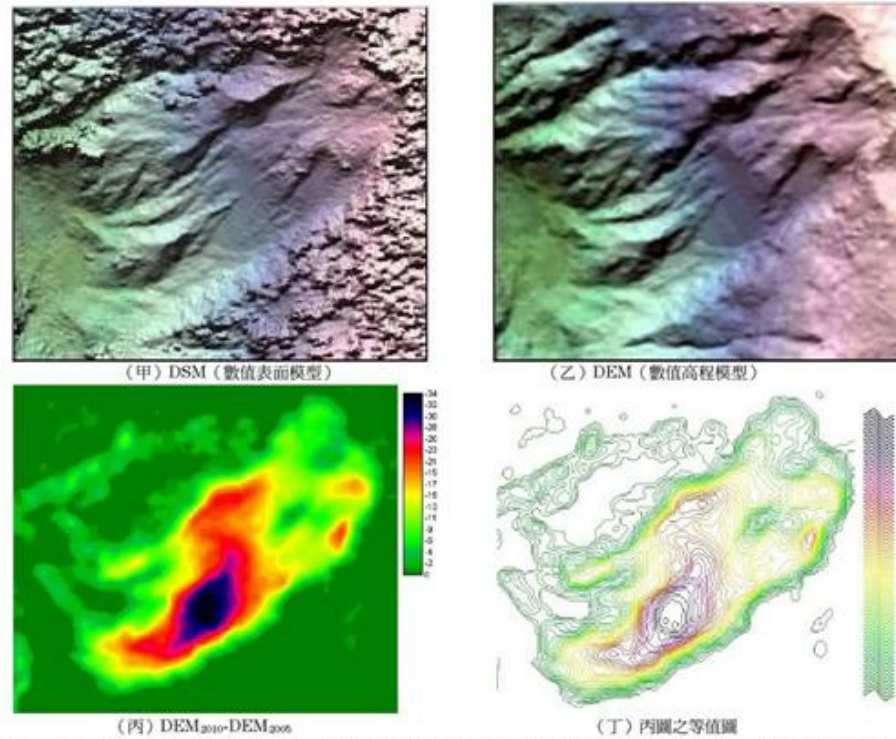
(丁) 丙圖上部之等值圖

圖三 圖二A處放大圖，顯示此處並不是單一山崩個體。圖甲與圖乙分別為DSM與DEM的暈渲圖，尚不易區分此處實際可分為兩處山崩：一個在上方，另一個為河岸山崩。圖丙藍色崩離區暈渲圖已可以察覺兩處山崩，圖丁以1m等深度圖展示，從1m等深線分佈可以清楚看到山崩體各處深度的變化，從0m至50m不等，以及深槽位置，從而完全分離此上方山崩個體

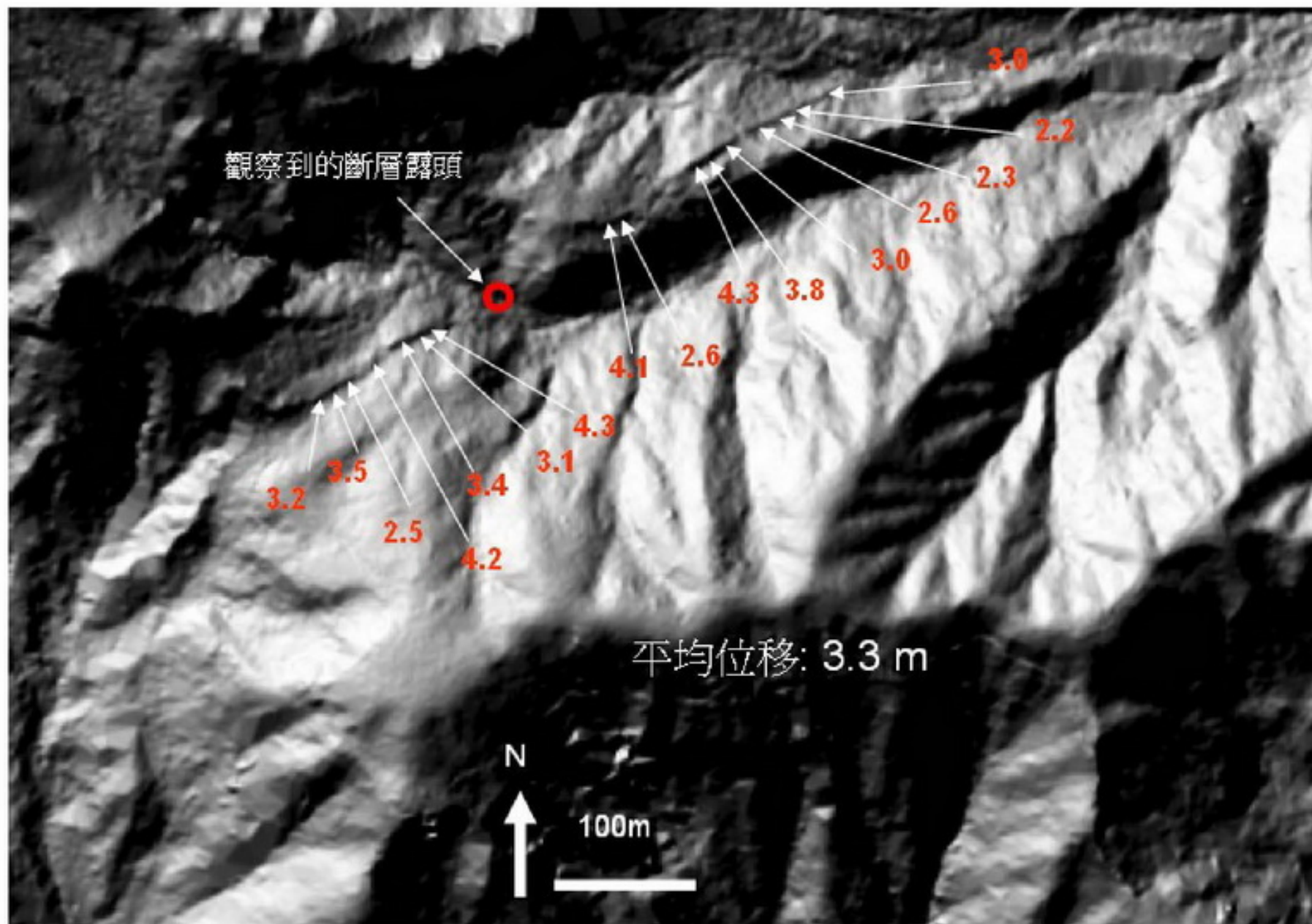
· 第 40 頁 圖四及圖五



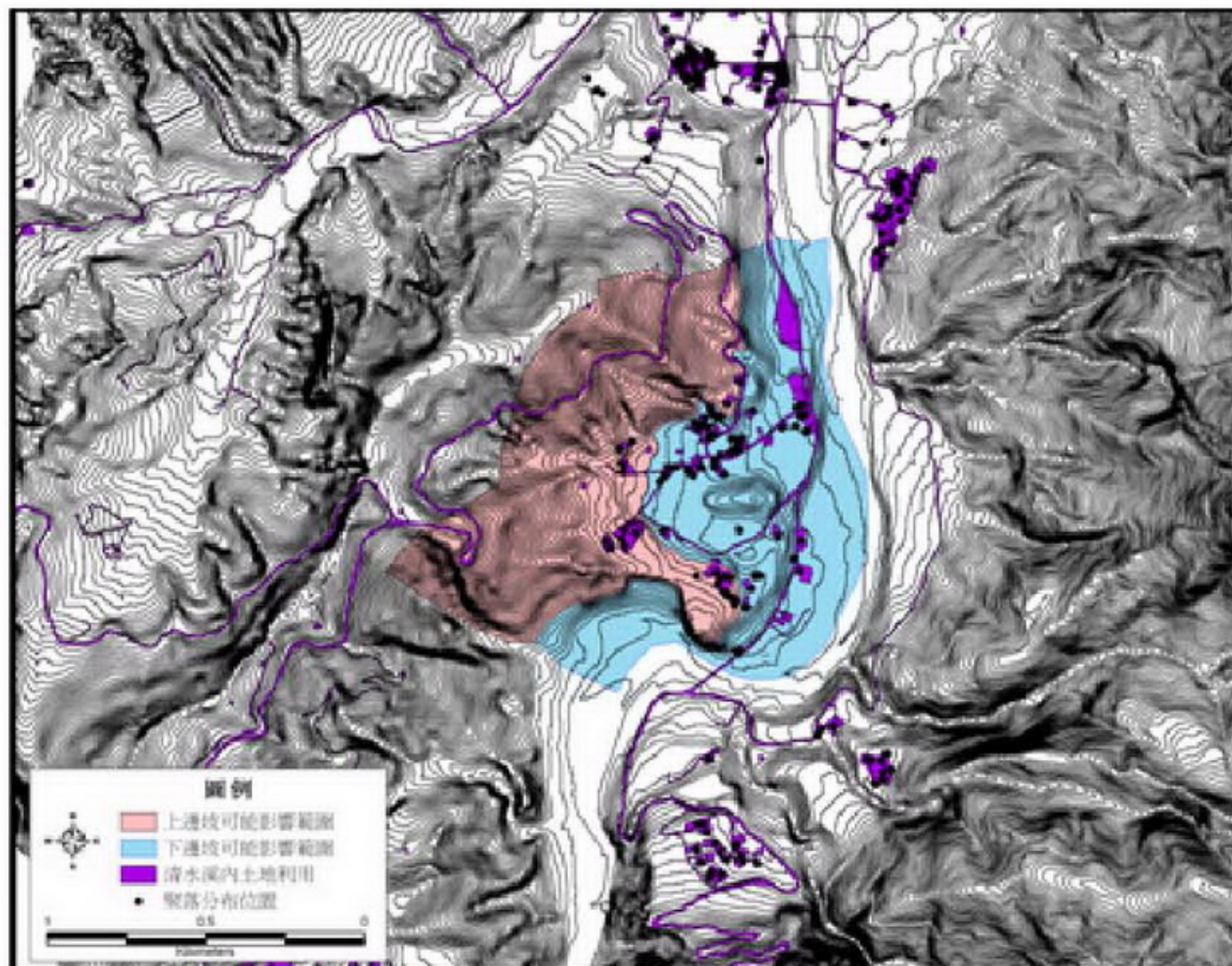
圖四 圖三近河岸部分之山崩的放大圖，甲乙圖均以1m等深度度表現，深度從0m~21m不等。從個體山崩的深槽分佈，河岸山崩可以分成四個山崩個體。並且精確量得最深達-21m



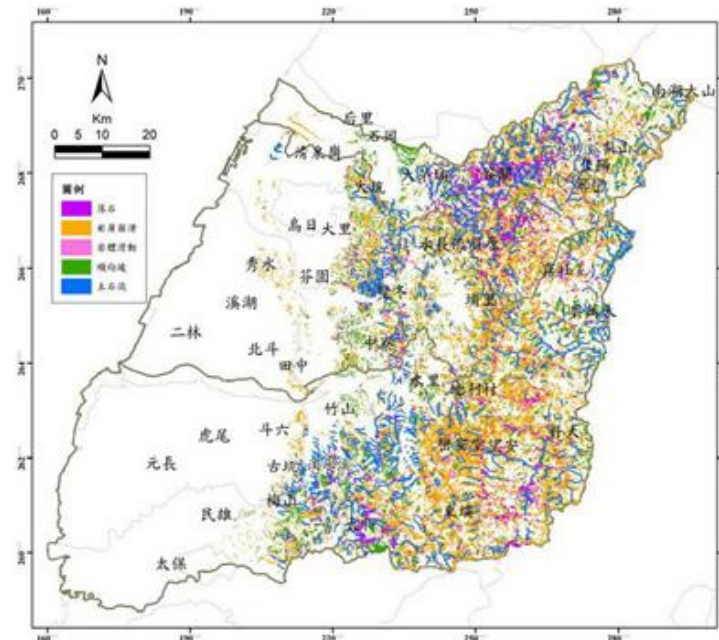
圖五 圖二B處之山崩的放大圖，丙丁圖均以等深度圖展示。從個體山崩的深槽分佈，北側部份顯然與南側部份不是同一個山崩個體



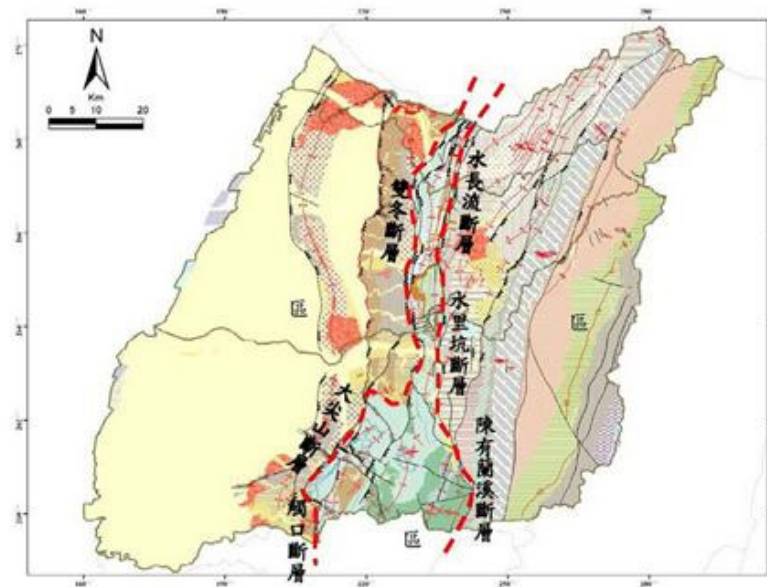
圖七 空載光達高精度數值地形顯示出的新近斷層線以及斷層錯移量 (詹瑜璋等, 2006)



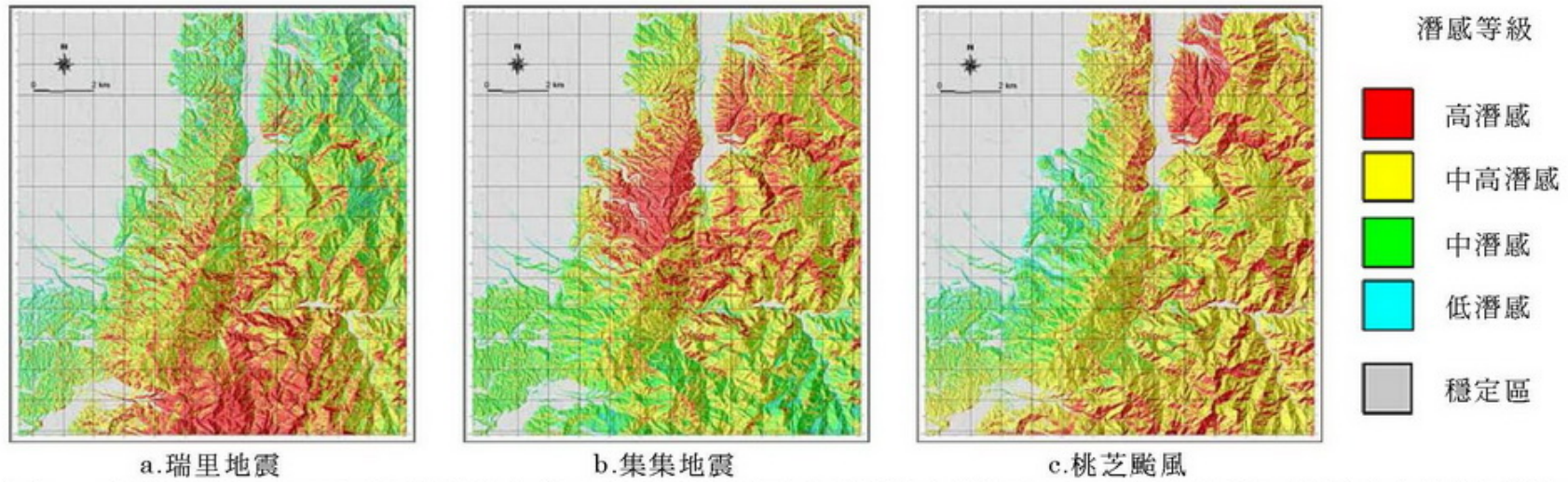
圖十二 上下邊坡危險範圍及土地利用、聚落分布位置示意圖



圖五 台灣中部流域山崩、土石流、順向坡分布圖

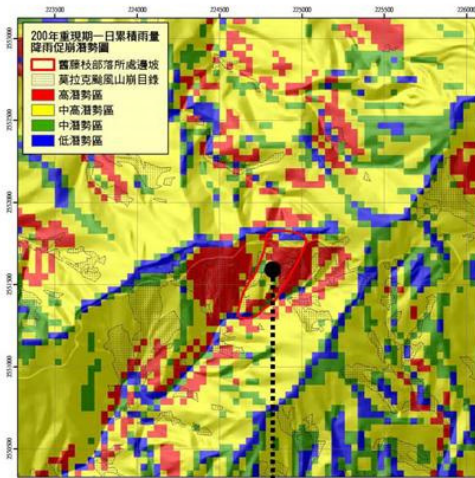


圖六 台灣中部流域地質分區示意圖



圖一 雲林圖幅三個不同事件誘發山崩目錄所分別建立之潛感圖 (使用不同時期的山崩目錄所建立的潛感模型會得到完全不同的潛感分布；穩定區容後說明)

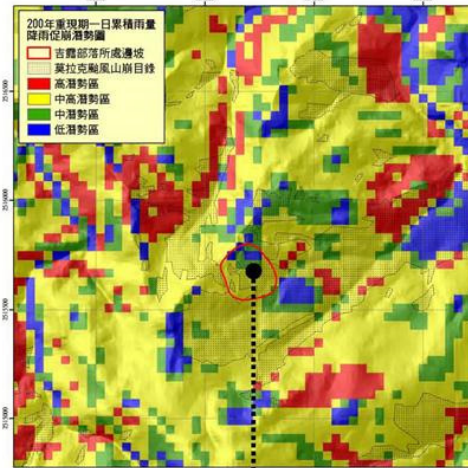
· 第 86 頁 圖十一~圖十四



圖十一 藤枝地區模式預測與實際山崩之比較



圖十二 莫拉克颱風後藤枝地區之崩滑破壞情形

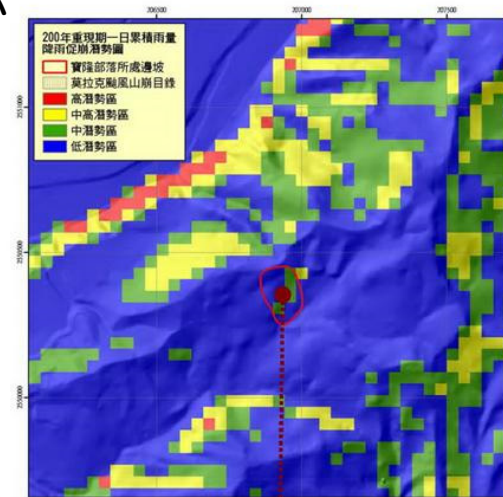


圖十三 吉露地區模式預測與實際山崩之比較



圖十四 莫拉克颱風後吉露地區之岩屑崩滑情形

· 第 87 頁 圖十五及圖十六

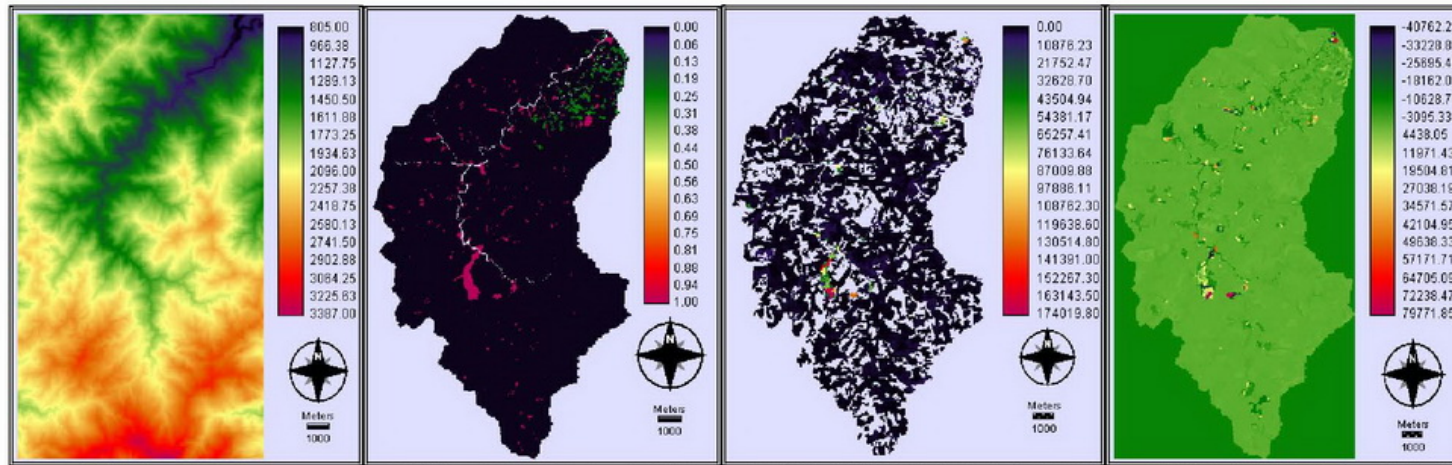


圖十五 寶隆地區模式預測與實際山崩之比較



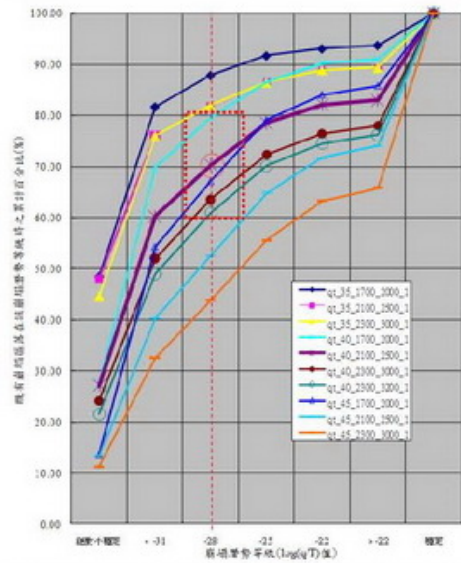
圖十六 莫拉克颱風後寶隆場址坡趾處局部崩滑情形

· 第104頁圖八、圖九及圖十

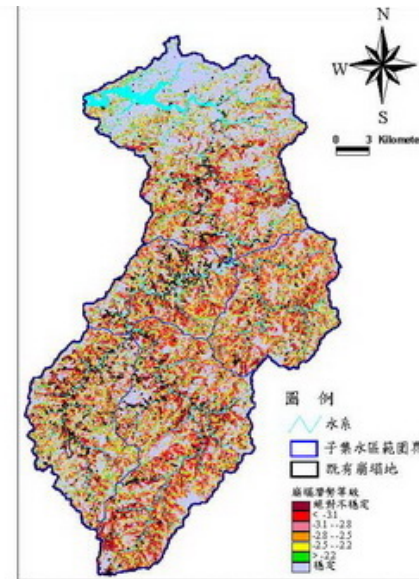


計算輸入DEM圖 計算輸入RUSLE之C值圖 IR模組計算結果-坵塊土壤沖蝕量 IS模組計算結果-坡面沖蝕或堆積量分布圖

圖八 石門水庫白石溪子集水區坡面沖蝕量計算輸入資料及結果分佈圖



圖九 既有崩塌區落在該崩塌潛勢等級時之累積百分比與在不同土壤材料參數組合下之崩塌潛勢等級關係圖



土壤材料參數 $\phi = 40^\circ$,
 $\rho_s = 2100 \text{ kg/m}^3$,
 $c = 2500 \text{ N/m}^2$,
 $z = 1 \text{ m}$

圖十 石門水庫集水區既有崩塌地與崩塌潛勢等級圖套疊